

СЕПАРАЦИЯ СТРУЖКИ И ПОРОШКА СЕРОГО ЧУГУНА

В статье рассмотрены вопросы сепарации чугунной стружки и порошка с введением кремния и углерода, так как проблема использования чугунной стружки в машиностроении весьма актуальна. Двукратная перечистка пенного продукта позволяет получить богатый графитовый концентрат.

Проблема переработки чугунной стружки является актуальной народохозяйственной задачей. Химический состав серого чугуна СЧ21: 3,3-3,5 С_{общ}; 2,8-3,0 С_{своб}; 1,4-1,7 Si; 0,6-0,9 Mn; 0,45 Cr; 0,2-0,4 P; 0,08 S /1/. При традиционной схеме переработки чугунной стружки – бритировании (переплавка в плавильных печах) происходит угар лерирующих элементов Cr и Mn и загрязнение окружающей среды. Нами предложена переработка стружки серого чугуна СЧ21 методами порошковой металлургии /2/.

Из стружки серого чугуна была отсеяна фракция (-0,08+0,056) мм, а остальная разламывалась в вибрационной мельнице М10 до среднего размера 0,106 мм. Порошок серого чугуна содержит 3,5% С и поэтому плохо прессуется.

Для выделения из серого чугуна (СЧ21) свободного углерода и фаз, богатых кремнием, применяются следующие методы сепарации стружки (+0,2 -0,044мм):

- магнитная сепарация;
- гравитация;
- флотационное выделение углерода и кремниесодержащих частиц.

Исследование метода магнитной сепарации проводили на пробах чугунного порошка, состоящего из металлической основы (94-95%) и механической смеси слабомагнитных и немагнитных материалов. Принцип магнитной сепарации заключается в использовании разной удельной магнитной восприимчивости частиц порошка, т. е. разделении механических смесей по их магнитным свойствам. Удельная магнитная восприимчивость частиц железного порошка составляет $200000 \cdot 10^{-9} \text{ м}^3/\text{кг}$, это в 2,5 раза больше, чем для магнетита /3/.

Гравитационные процессы сепарации являются наиболее распространенными из всех методов разделения порошковых смесей как по удельному весу, так и по крупности. Гравитационные методы (сепарации) основаны на использовании силы тяжести или разницы в весе частиц, зависящей, как известно, от объема каждой частицы и ее удельной массы. Разница в удельных весах частиц, составлявших железный порошок, – значительна (4,8-5,2 г/см³ – железные частицы, 1,2-1,6 г/см³ угле-

род), что и предопределило необходимость применения гравитационной сепарации.

Отделение частиц графита и кремнезема из чугунных порошков проводили на короткоизогнутом модифицированном гидроциклоне, основные параметры которого представлены на рисунке 1, и на концентрационном столе. В качестве материала использовали исходную стружку и порошок, полученный в результате размола – 2; 3 и 5 часов. Условия проведения эксперимента и результаты приведены в таблице 1 и на рисунке 2.

Как видно по результатам испытаний, получен объединенный слив с минимальным содержанием в нем примесей углерода – 0,9%. Обеднена углеродом и фракция песков до 2,14% против 3,3% в исходном продукте. Это указывает на эффективность гравитационной сепарации с применением короткоизогнутых гидроциклонов.

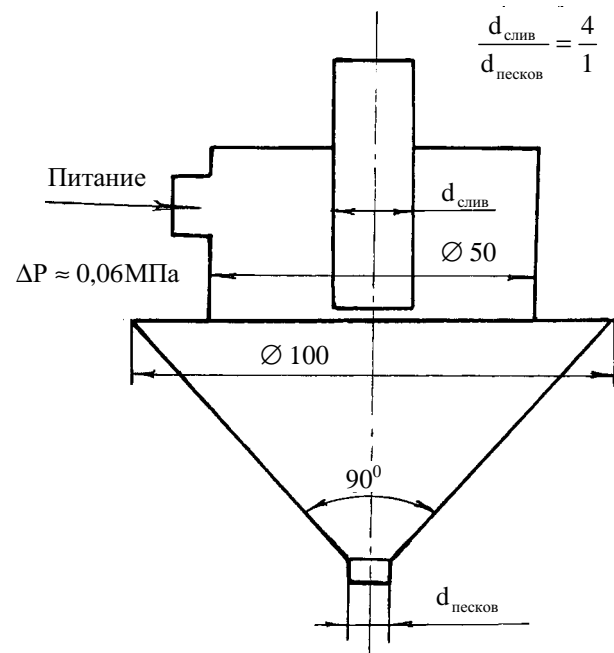


Рисунок 1. Схема короткоизогнутого модифицированного гидроциклона.

Таблица 1. Выход продуктов при сепарации на короткоизогнутом модифицированном гидроциклоне

Продукт	Выход, %	Содержание, %		
		C	SiO ₂	Fe
1. Класс + 1 мм	8,17	3,48	1,99	94,53
2. Пески	85,6	2,14	2,20	95,66
3. Слив объединенный	6,21	0,9	2,02	97,08
Исходный	100	3,3	2,4	94,7

Концентрационный стол по существу является механизированным, непрерывно действующим лотком. Он состоит (рисунок 3) из нарифленной прямоугольной деки – 1. Обогащаемый материал в виде пульпы с содержанием 25% твердого вещества подается в загрузочную коробку. Из загрузочной коробки материал распределяется по желобу 3 и равномерно поступает на деку. Вода для смывания распределяется вдоль загрузочной деки, переходя по желобу 4. Отличительными признаками обогащения в сотрясающемся слое является: расслоение в зависимости от удельного веса зерен и распределение (сегрегация) зерен происходит в условиях их полувзвешенного состояния, получаемого в результате сотрясений без помощи направленных вверх потоков воды.

В наших исследованиях приняли обозначение: хвосты – железосодержащая фракция, концентрат – углеродсодержащая фракция.

При сепарации на концентрационном столе пробы чугунной стружки по схеме, приведенной на рисунке 4, отмечается недостаточная селективность процесса: в графитовом концентрате содержание железа значительно – 85,7%, и лишь 37% объема углерода сосредоточено в указанном продукте.

В практике сепарации графитосодержащего сырья получила распространение простая схема извлечения графита в одну стадию.

Далее следует пяти-семикратная перечистка углеродсодержащей фракции с промежуточным доизмельчением для освобождения зерен пустой породы. Содержание графита в очищенном концентрате составляет до 80%.

Поскольку графит и уголь относят к аполярным минералам, в качестве собирателя для флотации применяли соединения класса аполярных собирателей: нейтральное масло, полностью освобожденное от фенолов, крезолы, ксиленолы, фенол и керосин.

Флотацию чугунного порошка фракции крупностью (-0,08+0,056) мм проводили в лабораторной флотационной машине механического типа с объемом камеры 1 л, при плотности 30-33% твердого. В таблице 2 даны результаты флотационных опытов и условия их проведения. В качестве собирателя для углерода применяли керосин в сочетании с сульфидильным собирателем (бутиловым ксантолигенатом калия).

Как видно из данных таблицы 3, дозировка только керосина в количестве 100% позволяет получить богатый по углероду концентрат – 65,93%,

при увеличении последнего – 38,6%. Флотация с повышенными расходами собирателя приводит к заметной активации кремнесодержащих частиц. Следует отметить, что указанные флотационные исследования проведены на фракции крупностью (-0,08+0,056) мм, как отмечалось ранее, обогащенной углеродом. Объясняется это тем, что в процессе более тонкого размола чугунной стружки происходит выкрашивание свободного углерода, других неметаллических включений, а также происходит увеличение удельной поверхности. Однако тонкое измельчение серого чугуна трудоемко и нецелесообразно по технологическим причинам, требует больших механических и энергозатрат. Кроме того, с уменьшением размера частиц чугунной стружки возрастает относительное значение сил трения между частицами, возникает явление схватывания, т. к. графит по своей природе гидрофобен.

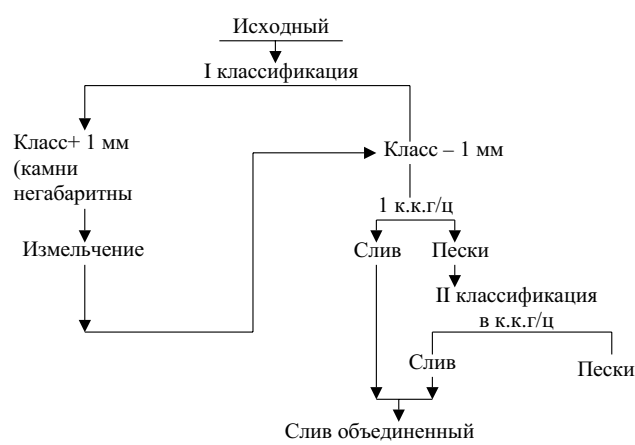


Рисунок 2. Сепарация стружки в короткоконусных гидроциклонах (к.к.г/ц).

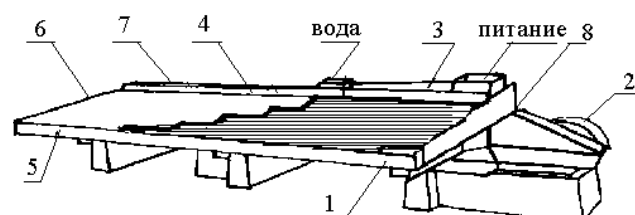


Рисунок 3. Концентрационный стол.
1 – дека; 2 – механизм; 3 – желоб для распределения питания; 4 – желоб для распределения воды; 5 – сторона разгрузки хвостов; 6 – сторона разгрузки концентрата; 7 – сторона питания; 8 – сторона механизма.



Рисунок 4. Сепарация на концентрационном столе.

На следующем этапе исследования проводили отработку режима наиболее полной флотации графита из порошка серого чугуна различной гранности, измельченного в течение 2, 3 и 5 часов, средний размер частиц от 0,294 до 0,067 мм.

Проведенный цикл исследований по гравитационному и флотационному выделению углеродсодержащей фракции из порошка серого чугуна позволил уменьшить содержание углерода до 2,04%. Но для того, чтобы получить среднелегированный железный порошок, нужно уменьшить содержание углерода до 0,4-0,7%. Поэтому было предложено провести дальнейшие исследования по обезуглероживанию чугунного порошка методом флотации.

Для оптимизации процесса флотации графита, повышения извлечения и качества графитового концентрата разработан и апробирован следующий технологический режим, включающий обработку порошка соединениями ПАЗ (алкиларилсульфонатами) при температуре 313-333 К с целью снижения сил сцепления частиц графита с составляющими чугунного порошка в количестве 0,005 кг/кг порошка, дозировку аполярного масла (керосина, трансформаторного масла 0,0018 кг/кг порошка, вспенивателя 0,0005 кг/кг) и последующую флотацию в течение 6-8 минут и двухкратную перечистку графитового продукта.

Результаты флотационных опытов приведены в таблице 4.

Как видно из таблицы 4, разработанный технологический процесс выделения графита и последующая концентрация его из порошка серого чугуна (при предварительном размоле последнего 2, 3 и 5 часов) позволяют наиболее полно извлечь графит в углеродсодержащую фракцию на 99%. При этом железосодержащая фракция одновременно обогащается железом. Чем продолжительнее время размола (опыты 5, 1 и 3), тем больше извлекается графита в пенный продукт. Двухкратная перечистка пенного продукта позволяет получить довольно богатый по качеству графитовый концентрат.

Таким образом, разработанный технологический режим позволяет осуществить взаимосвязь между временем размола и количеством извлеченного из порошка графита для возвращения его в металлургический процесс. На разработанный способ получена заявка на изобретение.

Таблица 2. Выход продуктов при сепарации чугунной стружки на концентрированном столе

Продукт	Выход, %	Содержание, %		
		C*	Fe	SiO ₂
1. Графитовый концентрат	13	11,4	12,2	85,7
2. Промежуточный продукт	35	30,7	2,8	95,08
3. Пески	66	57,8	2,04	95,86
Исходный	114	100	3,75	93,75

* Графит определяли на анализаторе Leco - 114

Таблица 3. Продукты флотационной сепарации чугунного порошка фракции (-0,08+0,056) мм (C_{общ}=6,2%, C_{вяз}=0,71%)

№ опыта	Продукт	Выход, %	Содержание, %		Условия опыта: расход г/т углеводорода+ксантогената	
			C*	Fe		
1	Углеродсодержащая фракция Железосодержащая фракция Исходный	2,07 97,93 100,0	12,2	85,7	100	-
2	Углеродсодержащая фракция Железосодержащая фракция Исходный	2,58 97,42 100,0	2,8	95,08	100	20
3	Углеродсодержащая фракция Железосодержащая фракция Исходный	16,55 83,45 100,0	2,04	95,86	100	50

Таблица 4. Результаты флотации стружки серого чугуна после размола 2, 3 и 5 часов

Наименование продукта	Выход, %	Содержание, %			Распределение, %			Условия опыта. Время размола
		C	Fe	SiO ₂	C	Fe	SiO ₂	
1. Углеродсодержащая фракция	15,2	5,58	88,96	5,46	28,3	15,0	94,6	3 ч
	84,8	2,5	95,74	1,76	71,7	85,0	5,4	
	100	3,0	92,1	4,9	100	100	100	PH-9; 12
2. Углеродсодержащая фракция	30,6	5,85	87,99	6,16	62,0	30,6	87,0	3 ч
	69,4	1,6	93,36	2,04	38,0	69,4	13,0	
	100	2,9	92,2	4,9	100	100	100	PH-10
3. Углеродсодержащая фракция	25,3	6,41	87,61	5,98	60,0	20,0	91,3	5 ч
	74,7	1,46	96,85	1,69	40,0	75,0	8,7	
	100	2,7	92,4	4,9	100	100	100	PH-9, 12
4. Углеродсодержащая фракция	35,0	6,38	87,12	6,5	68,4	35,0	87,2	3 ч
	65,0	1,59	96,61	1,80	31,6	65,0	12,8	
	100	3,26	91,84	4,9	100	100	100	PH-10, 15
5. Углеродсодержащая фракция	44,5	6,2	86,4	7,4	99,0	45,5	84,1	2 ч
	55,5	0,06	98,18	1,76	1,0	54,5	15,9	
	100	2,75	92,35	4,9	100	100	100	PH-9
Опыты с перечистками концентрата								
6. Углеродсодержащая фракция	8,2	6,32			22,3			3 ч
Пром. пр	8,2	2,7			9,0			PH-9; 10
Железосодержащая фракция	83,6	1,9			68,3			
Исходный	100	2,3			100			
Углеродсодержащая фракция	12,6	6,04			33,0			
Пром. пр 1	4,3	2,66			5,0			5 ч
Пром. пр 2	3,2	2,89			4,0			PH-9; 1
Железосодержащая фракция	79,9	1,64			58,0			
Исходный	100	2,3			100			

Список использованной литературы:

- Материаловедение и технология металлов: Учеб. для вузов / Под ред. Г.П. Фетисова, М.Г. Карпман. – М.: Высш.шк., 2001. – 640 с.
- Шульц Л.А. Элементы безотходной технологии в металлургии: Учеб. для вузов. – М.: Металлургия, 1991. – 174 с.
- Трибология сталей и сплавов: Учеб.для вузов / Под ред. Г.М. Сорокина. – М.: ОАО «Изд-во «Недра», 2000. – 317 с.